

В гл. 8 изложена методика оценки показателей надежности систем КИПиА с учетом функций контроля и регистрации основных технологических параметров, сигнализации об их отклонении за допустимые пределы, защиты и регулирования важнейших параметров технологического процесса.

В гл. 9 изложены методические вопросы расчета показателей систем безопасности с учетом длительности выполнения заданных функций для различных условий и регламента проведения технического обслуживания при работе реактора на мощности.

В приложениях РТМ приведены краткие данные о надежности оборудования АЭС, методика оценки надежности трубопроводов, пояснения к по-

строению «дерева отказов» и некоторые другие справочные материалы.

Для облегчения расчетов по методике РТМ созданы специальные программы для ЭВМ БЭСМ-6. Полные наборы КГСБ и КГЭ для нескольких типичных структурных схем АЭС определяются по программе ФОРОНС. Программа РАСТР-1 реализует методику РТМ для задания условий работоспособности через КГЭ.

СПИСОК ЛИТЕРАТУРЫ

1. Барлоу Р., Прошан Ф. Математическая теория надежности. Пер. с англ. Под ред. Б. В. Гнеденко. М., «Сов. радио», 1969.
2. Vesely W. «Nucl. Engng Design», 1970, v. 13, N 2, p. 337.

Поступила в Редакцию 28.05.7

УДК 621.039.54:539.4

Оценка несущей способности циркониевых оболочек твэлов

СОЛЯНЫЙ В. И., ЯМНИКОВ В. С.

В энергетических реакторах с водяным теплоносителем, как правило, используются стержневые твэлы с оболочками из сплавов на основе циркония. Для проектирования таких твэлов, анализа эксплуатационной надежности, особенно при переходных режимах, и изучения последствий при возможных аварийных ситуациях необходимо знать предельные прочностные характеристики оболочек при сложнонапряженном состоянии в широком интервале температуры.

Анизотропность оболочек из сплавов на основе циркония вызвана, с одной стороны, деформационной анизотропией, возникшей в процессе изготовления, и, с другой — исходной анизотропией монокристалла α -циркония. Обычное экспериментальное определение предельных напряжений и деформаций анизотропных оболочек при сложнонапряженном состоянии, осуществляемое путем испытаний на разрушение внутренним давлением и осевым нагружением, требует сложного аппаратного оснащения и весьма трудоемко. Однако необходимые характеристики могут быть получены посредством теоретического рассмотрения несущей способности цилиндрической анизотропной оболочки твэла на основе представлений о потере устойчивости пластического деформирования.

Поскольку экспериментальная проверка не подтвердила [1] возможности использования критерия Свифта, модифицированного для случая анизотропных материалов, был применен статический критерий [2], согласно которому потеря устойчивости пластического деформирования наступает при достижении максимума какой-либо внешней нагрузки и характеризуется равенством нулю бесконечно малых ее приращений.

Постановка задачи и ее решение. Рассмотрим процесс кратковременного деформирования весьма пластичной оболочки при простом нагружении и предположим, что справедлива теория пластической анизотропии Хилла [3], т. е. материал оболочки обладает пластической ортогональной анизотропией (ортотропией) и изотропным упрочнением. Следует отметить, что в трубах, идущих на изготовление твэлов, текстура такова, что нормаль к плоскости базиса лежит в плоскости поперечного сечения. Анизотропию таких оболочек можно охарактеризовать коэффициентами R_θ и R_z , определяемыми как отношение поперечных деформаций при одноосном растяжении стандартных образцов вдоль осей θ и Z соответственно, т. е.

$$R_\theta = \varepsilon_z / \varepsilon_r; \quad R_z = \varepsilon_\theta / \varepsilon_r. \quad (1)$$

Основные соотношения теории пластичности ортотропного металла для плоского напряженного состояния, когда главные оси тензора напряжений и тензора приращений деформаций совпадают, представим в следующем виде:

а) связь между напряжениями и деформациями

$$\varepsilon_\theta = \frac{\bar{\varepsilon}}{A\bar{\sigma}} [(H + G) - Hm] \sigma_\theta; \quad (2a)$$

$$\varepsilon_z = \frac{\bar{\varepsilon}}{A\bar{\sigma}} [(H + F)m + H] \sigma_\theta; \quad (2б)$$

$$\varepsilon_r = -\frac{\bar{\varepsilon}}{A\bar{\sigma}} [G + Fm] \sigma_\theta, \quad (2в)$$

где $m = \sigma_z / \sigma_\theta = \text{const}$ ($0 \leq m < \infty$); H, G, F — параметры анизотропии; $A = \frac{2}{3}(H + G + F)$;

$\bar{\sigma}$, $\bar{\epsilon}$ — интенсивность напряжений и деформаций, однозначно связанных между собой независимо от напряженно-деформированного состояния уравнением $\bar{\sigma} = f(\bar{\epsilon})$;

б) условие несжимаемости

$$\epsilon_\theta + \epsilon_z + \epsilon_r = 0. \quad (3)$$

Из определения коэффициентов R и соотношений (2) получим

$$R_\theta = H/G; \quad R_z = H/F. \quad (4)$$

Выражение для интенсивности напряжений имеет вид

$$\bar{\sigma} = \sqrt{\frac{\left[\left(1 + \frac{1}{R_\theta}\right) - 2m + \left(1 + \frac{1}{R_z}\right) m^2 \right]}{\frac{2}{3} \left(1 + \frac{1}{R_z} + \frac{1}{R_\theta}\right)}} \sigma_\theta. \quad (5)$$

Из соотношений (2а) и (5) получаем уравнение для интенсивности деформаций:

$$\bar{\epsilon} = \sqrt{\frac{\frac{2}{3} \left(1 + \frac{1}{R_z} + \frac{1}{R_\theta}\right) \left[\left(1 + \frac{1}{R_\theta}\right) - 2m + \left(1 + \frac{1}{R_z}\right) m^2 \right] \frac{\epsilon_\theta}{1 + \frac{1}{R_\theta} - m}}{\left(1 + \frac{1}{R_z} + \frac{1}{R_\theta}\right)}}. \quad (6)$$

На основании соотношения (2) обозначим

$$m_\epsilon = \frac{\epsilon_z}{\epsilon_\theta} = \frac{\left(1 + \frac{1}{R_z}\right) m - 1}{1 + \frac{1}{R_\theta} - m}. \quad (7)$$

Связь между нагрузками на элемент цилиндрической оболочки и действующими напряжениями описывается соотношениями

$$Q = \pi D t \sigma_z; \quad P = 2 t \sigma_\theta / D, \quad (8)$$

где Q — осевая сила; P — внутреннее давление; D , t — текущие значения диаметра и толщины оболочки соответственно.

По статическому критерию потеря устойчивости пластического деформирования происходит

$$\text{при } \delta Q = 0 \quad (9)$$

или

$$\text{при } \delta P = 0. \quad (10)$$

Из уравнений (9), (10) и соотношений (3), (7), (8), полагая приращения деформаций по осям θ , z , r равными $\delta \epsilon_\theta = \delta D/D$, $\delta \epsilon_z = \delta L/L$, $\delta \epsilon_r = \delta t/t$, находим

$$\text{либо } \delta \sigma_z / \delta \epsilon_z = \sigma_z, \quad (11)$$

$$\text{либо } \delta \sigma_\theta / \delta \epsilon_\theta = (2 + m_\epsilon) \sigma_\theta. \quad (12)$$

Тогда с учетом (5) и (6) получим

$$\text{либо } \frac{\delta \bar{\sigma}}{\delta \bar{\epsilon}} =$$

$$= \left\{ \frac{\left(1 + \frac{1}{R_z}\right) m - 1}{\frac{2}{3} \left(1 + \frac{1}{R_z} + \frac{1}{R_\theta}\right) \times \left[\left(1 + \frac{1}{R_\theta}\right) - 2m + \left(1 + \frac{1}{R_z}\right) m^2 \right]} \right\} \bar{\sigma}, \quad (13)$$

$$\text{либо } \frac{\delta \bar{\sigma}}{\delta \epsilon} =$$

$$= \left\{ \frac{1 + \frac{1}{R_\theta} - m}{\frac{2}{3} \left(1 + \frac{1}{R_z} + \frac{1}{R_\theta}\right) \times \left[\left(1 + \frac{1}{R_\theta}\right) - 2m + \left(1 + \frac{1}{R_z}\right) m^2 \right]} \right\} \times (2 + m_\epsilon) \bar{\sigma}. \quad (14)$$

Из этих соотношений, зная зависимость $\bar{\sigma} = f(\bar{\epsilon})$ и коэффициенты анизотропии, определенные посредством одноосных испытаний, можно получить предельные значения напряжений и деформаций, приводящие к потере устойчивости пластического деформирования.

Используем наиболее распространенную для рассматриваемых сплавов аппроксимацию зависимости $\bar{\sigma} = f(\bar{\epsilon})$ степенной функцией

$$\bar{\sigma} = K (\bar{\epsilon})^n, \quad (15)$$

где K — коэффициент пропорциональности и n — показатель упрочнения.

Согласно формулам (13) и (14) получим для разрушения по z :

$$\sigma_{znp} = K n^n \left[\frac{2}{3} \left(1 + \frac{1}{R_z} + \frac{1}{R_\theta}\right) \right]^{(n+1)/2} \times \frac{m \left[\left(1 + \frac{1}{R_\theta}\right) - 2m + \left(1 + \frac{1}{R_z}\right) m^2 \right]^{(n-1)/2}}{\left[\left(1 + \frac{1}{R_z}\right) m - 1 \right]^n}; \quad (16)$$

$$\epsilon_{znp} = n; \quad (17)$$

для разрушения по θ :

$$\sigma_{\theta np} = K n^n \left[\frac{2}{3} \left(1 + \frac{1}{R_z} + \frac{1}{R_\theta}\right) \right]^{(n+1)/2} \times \frac{\left[\left(1 + \frac{1}{R_\theta}\right) - 2m + \left(1 + \frac{1}{R_z}\right) m^2 \right]^{(n-1)/2}}{\left[\left(1 + \frac{1}{R_\theta} - m\right) (2 + m_\epsilon) \right]^n}, \quad (18)$$

$$\epsilon_{\theta np} = n / (2 + m_\epsilon). \quad (19)$$

Вид разрушения будет определяться тем, какая из двух деформаций (ϵ_z или ϵ_θ) раньше достигнет своего предельного значения в соответствии с формулами (17) и (19).

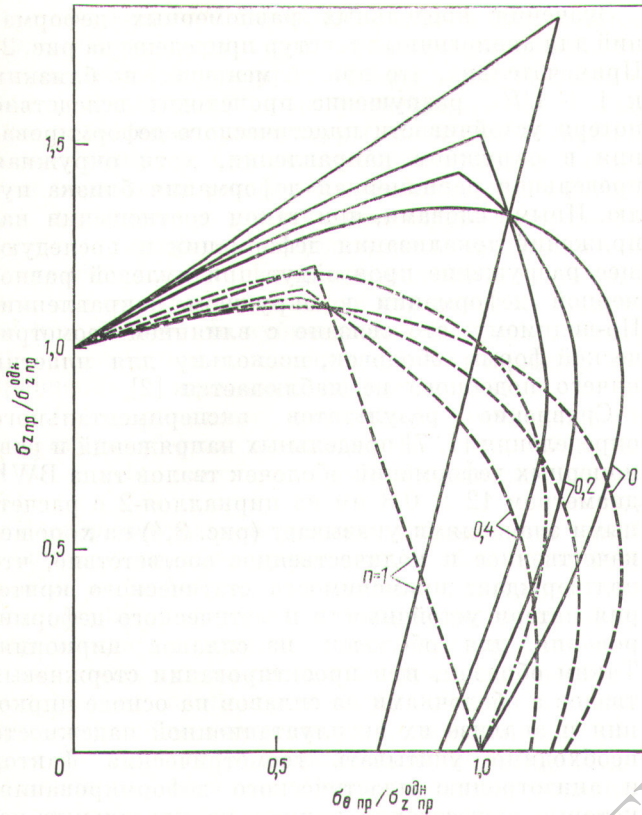
Тогда в случае

$$0 \leq m < 1 + 1/R_\theta \quad (20)$$

разрушение происходит вследствие потери устойчивости пластического деформирования в окружном направлении, а в случае

$$1 + 1/R_\theta < m < \infty \quad (21)$$

— в осевом направлении.



Р и с. 1. Расчетные кривые предельных напряжений для оболочек с радиальной текстурой при $R_{\theta} = R_z = 2$ (—) и окружной текстурой при $R_{\theta} = 1, R_z = 0,5$ (- · - ·); - · - · - изотропный случай

Вводя предельное напряжение при одноосном растяжении по z , равное

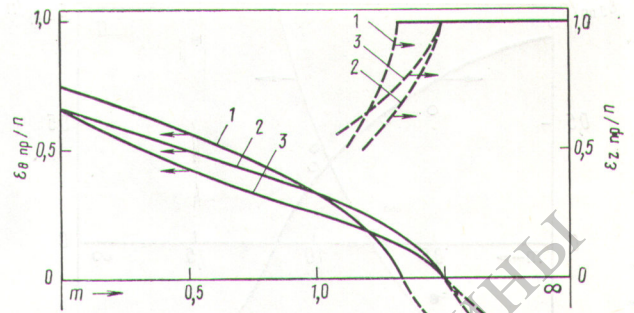
$$\sigma_{z пр}^{одн} = Kn^n \frac{\left[\frac{2}{3} \left(1 + \frac{1}{R_z} + \frac{1}{R_{\theta}} \right) \right]^{(n+1)/2}}{\left(1 + \frac{1}{R_z} \right)^{(n+1)/2}}, \quad (22)$$

из формул (16) и (18) получаем

$$\frac{\sigma_{z пр}}{\sigma_{z пр}^{одн}} = \left(1 + \frac{1}{R_z} \right)^{(n+1)/2} \times \frac{m \left[\left(1 + \frac{1}{R_{\theta}} \right) - 2m + \left(1 + \frac{1}{R_z} \right) m^2 \right]^{(n-1)/2}}{\left[\left(1 + \frac{1}{R_z} \right) m - 1 \right]^n}; \quad (23)$$

$$\frac{\sigma_{\theta пр}}{\sigma_{z пр}^{одн}} = \left(1 + \frac{1}{R_z} \right)^{(n+1)/2} \times \frac{\left[\left(1 + \frac{1}{R_{\theta}} \right) - 2m + \left(1 + \frac{1}{R_z} \right) m^2 \right]^{(n-1)/2}}{\left[\left(1 + \frac{1}{R_{\theta}} \right) 2 - 1 + \left(\frac{1}{R_z} - 1 \right) m \right]^n}. \quad (24)$$

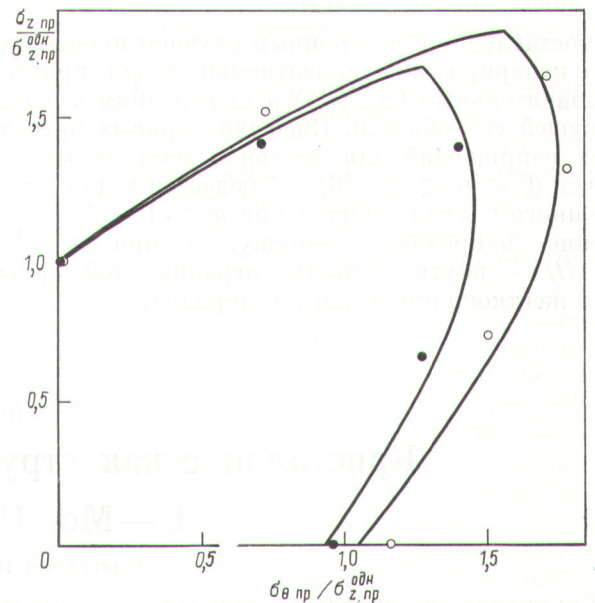
Результаты расчета и их обсуждение. Полученные зависимости (17), (19), (23) и (24) позволяют построить в относительных координатах предель-



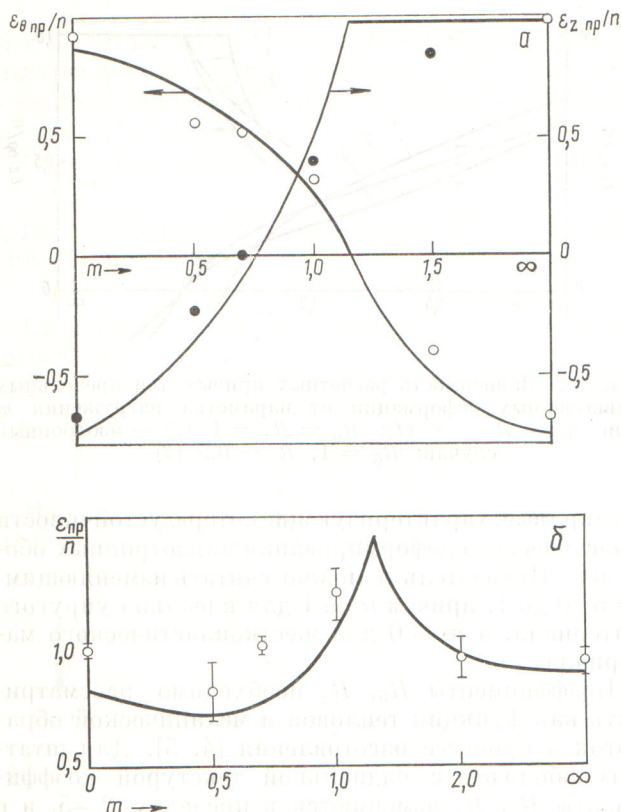
Р и с. 2. Зависимость расчетных кривых для предельных равномерных деформаций от параметра нагружения m при $R_{\theta} = R_z = 2$ (1); $R_{\theta} = R_z = 1$ (2) — изотропный случай; $R_{\theta} = 1, R_z = 0,5$ (3)

ные кривые, характеризующие потерю устойчивости пластического деформирования анизотропных оболочек. Показатель n можно считать изменяющимся от 0 до 1, причем $n = 1$ для идеально упругого материала, а $n = 0$ для жесткопластического материала.

Коэффициенты R_{θ}, R_z необходимо рассматривать как функции тепловой и механической обработок в процессе изготовления [4, 5]. Для штатных оболочек с радиальной текстурой коэффициенты R_{θ}, R_z изменяются в пределах 2—5, а с окружной текстурой они составляют $R_z = 0,3 \div 0,7$ и $R_{\theta} = 1 \div 1,7$. Для изотропных оболочек $R_{\theta} = R_z = 1$. На рис. 1 представлены расчетные кривые предельных напряжений для этих текстур.



Р и с. 3. Сравнение результатов расчетного и экспериментального определения предельных напряжений: \circ — $R_{\theta} = 5,78, R_z = 3,13, n = 0,15$ [1]; \bullet — $R_{\theta} = 3,7, R_z = 3,0, n = 1,15$ [7]



Р и с. 4. Сравнение результатов расчетного и экспериментального определения при $R_\theta = 5,78$, $R_z = 3,13$ и $n = 0,15$ [1] предельных равномерных деформаций в направлениях θ и z (а) и интенсивности предельной равномерной деформации (б)

Сопоставление с изотропным случаем показывает, что игнорирование анизотропии может привести к значительным (до 50%) расхождениям в оценке несущей способности. Смещение кривых предельных напряжений для реальных изотропных оболочек ($0 < n < 0,3$) [6] наблюдается и для анизотропного случая, причем при $m > 1 + 1/R$ смещение направлено наружу, а при $m < 1 + 1/R_0$ — внутрь области, ограниченной кривой для жесткопластического материала.

Значения предельных равномерных деформаций для аналогичных текстур приведены на рис. 2. Примечательно, что при m , меньших, но близких к $1 + 1/R_0$, разрушение происходит вследствие потери устойчивости пластического деформирования в окружном направлении, хотя окружная предельная равномерная деформация близка нулю. Иными словами, при таком соотношении напряжений локализация деформации и последующее разрушение произойдут при нулевой равномерной деформации в окружном направлении. По-видимому, это связано с влиянием геометрической формы оболочек, поскольку для пластин ничего подобного не наблюдается [2].

Сравнение результатов экспериментального определения [1, 7] предельных напряжений и равномерных деформаций оболочек твэлов типа BWR диаметром $12 \times 0,8$ мм из цирконоя-2 с расчетными значениями указывает (рис. 3,4) на хорошее качественное и количественное соответствие, что подтверждает применимость статического критерия потери устойчивости пластического деформирования для оболочек из сплавов циркония. Таким образом, при проектировании стержневых твэлов с оболочками из сплавов на основе циркония и анализе их эксплуатационной надежности необходимо учитывать геометрический фактор и анизотропию пластического деформирования, которые существенно влияют на предельные напряжения и равномерные деформации пластичных оболочек при кратковременном нагружении.

СПИСОК ЛИТЕРАТУРЫ

1. Miyamoto Y. e.a. «J. Nucl. Mater.», 1976, v. 64, p. 53.
2. Головлев В. Д. «Машиноведение», 1966, № 2, с. 112.
3. Хилл Р. Математическая теория пластичности. М., Гостехтеориздат, 1956.
4. Andersson T. «J. Nucl. Mater.», 1976, v. 62, p. 95.
5. Rittenhouse P. Ibid., 1967, v. 24, p. 310.
6. Максак В. И. В кн.: Упругость и неупругость. Вып. 1. М., изд. МГУ, 1971, с. 159.
7. Maki H. e.a. In: Proc. Intern. Conf. «Nuclear Fuel Performance». London, 1973, p. 621.

Поступила в Редакцию 18.05.77

УДК 548.7:669.822

Кристаллическая структура γ^s -фазы в сплавах

U—Mo, U—Re и U—Nb

ЧЕБОТАРЕВ Н. Т., УТКИНА О. Н.

Структура и свойства начальных элементов актиноидной группы обусловлены образованием гибридных $5f - 6d - 7s$ - состояний и возникновением межатомных связей ковалентно-металлического характера, что в низкотемпературных

модификациях урана, нептуния и плутония проявляется в виде четырех коротких связей [1, 2]. При переходе от этих низкотемпературных модификаций к высокотемпературным происходит уменьшение перекрытия энергетических уровней, ослабле-